

УДК 539.3

ДИНАМИЧЕСКАЯ ОСЕСИММЕТРИЧНАЯ ЗАДАЧА ПРЯМОГО ПЬЕЗОЭФФЕКТА ДЛЯ АНИЗОТРОПНОГО ПЬЕЗОКЕРАМИЧЕСКОГО РАДИАЛЬНО ПОЛЯРИЗОВАННОГО ЦИЛИНДРА

Д. А. Шляхин

Самарский государственный архитектурно-строительный университет, 443001 Самара
E-mail: sgasu@sgasu.smr.ru

Рассматривается нестационарная задача электроупругости для длинного анизотропного пьезокерамического радиально поляризованного цилиндра, на радиальных поверхностях которого действуют нормальные напряжения, являющиеся произвольными функциями времени. Методом разложения по собственным вектор-функциям построено замкнутое решение, позволяющее определять частоты собственных колебаний, напряженно-деформированное состояние элемента, а также потенциал и напряженность индуцируемого электрического поля.

Ключевые слова: связанная задача прямого пьезоэффекта, длинный цилиндр, осесимметричная динамическая нагрузка.

Введение. При исследовании динамических задач электроупругости для полого анизотропного радиально поляризованного цилиндра требуется интегрирование сложной системы уравнений в частных производных, поэтому решения таких задач получены в основном при установившемся режиме вынужденных колебаний приближенными методами [1] или методом разложения по собственным вектор-функциям для некоторых одномерных элементов [2, 3]. При указанной выше поляризации точные решения для конечного неоднородного цилиндра построены в задачах на собственные значения [2, 3].

В настоящей работе построено точное замкнутое решение задачи электроупругости для длинного пьезокерамического анизотропного цилиндра при произвольном нестационарном осесимметричном воздействии.

1. Постановка задачи. Пусть полый длинный цилиндр, представляющий собой линейно-упругое анизотропное тело, изготовлен из пьезокерамического материала с введенной поляризацией вдоль радиуса r_* . Рассматривается случай, когда на электродированных незакрепленных криволинейных поверхностях $r_* = a$, $r_* = b$ действует динамическая нагрузка (нормальные напряжения) $q_1^*(t_*)$, $q_2^*(t_*)$. При этом внешняя радиальная поверхность подключена к измерительному прибору с большим входным сопротивлением, что соответствует режиму “холостого хода” (отсутствию свободных электрических зарядов), а внутренняя поверхность заземлена.

Рассматриваемая в данной постановке краевая задача моделирует работу пьезоэлементов в приборах прямого пьезоэффекта, трансформирующих механическое воздействие в соответствующий электрический сигнал.

Система дифференциальных уравнений, граничные и начальные условия рассматриваемой динамической задачи теории электроупругости в безразмерных переменных имеют вид [1, 2]

$$\begin{aligned} \nabla^2 U - \frac{C_{11}}{C_{33}} \frac{U}{r^2} + e_{33} \nabla^2 \varphi - e_{31} \frac{1}{r} \frac{\partial \varphi}{\partial r} - \frac{\partial^2 U}{\partial t^2} &= 0, \\ C_{33} \varepsilon_{33} \nabla^2 \varphi - e_{33} \nabla^2 U - e_{31} \frac{1}{r} \frac{\partial U}{\partial r} &= 0; \end{aligned} \quad (1)$$

$r = 1, k$:

$$\begin{aligned} \sigma_{rr}|_{r=1} = \frac{\partial U}{\partial r} + \frac{C_{13}}{C_{33}} U + e_{33} \frac{\partial \varphi}{\partial r} = q_1(t), \quad \sigma_{rr}|_{r=k} = \frac{\partial U}{\partial r} + \frac{C_{13}}{C_{33}} \frac{U}{k} + e_{33} \frac{\partial \varphi}{\partial r} = q_2(t), \\ D_r|_{r=1} = -C_{33} \varepsilon_{33} \frac{\partial \varphi}{\partial r} + e_{31} U + e_{33} \frac{\partial U}{\partial r} = 0, \quad \varphi(k, t) = 0; \end{aligned} \quad (2)$$

$t = 0$:

$$U(r, 0) = U_0(r), \quad \dot{U}(r, 0) = \dot{U}_0(r), \quad (3)$$

где $U = U^*/b$; $r = r_*/b$; $k = a/b$; $q_1(t) = q_1^*/C_{33}$; $q_2(t) = q_2^*/C_{33}$; $t = t_* b^{-1} \sqrt{C_{33}/\rho}$; $\varphi = \varphi^*/(bC_{33})$; $\sigma_{rr}(r_*, t_*)$, $D_r(r_*, t_*)$, $U^*(r_*, t_*)$ — соответственно радиальные компоненты тензора механических напряжений, электрической индукции и вектора перемещений; $\varphi^*(r_*, t_*)$ — потенциал электрического поля; ρ , C_{ms} , e_{ms} ($m = \overline{1, 3}$, $s = \overline{1, 3}$), ε_{33} — объемная плотность, упругие постоянные, пьезомодули и диэлектрическая проницаемость анизотропного электроупругого материала; U_0 , \dot{U}_0 — известные в начальный момент времени перемещения и скорости перемещений соответственно; $\nabla^2 = \partial^2/\partial r^2 + r^{-1} \partial/\partial r$; точка означает дифференцирование по t .

Соотношения (1)–(3) представляют собой математическую формулировку рассматриваемой начально-краевой задачи электроупругости.

2. Построение общего решения. Краевая задача электроупругости (1)–(3) решается методом конечных интегральных преобразований (КИП) [4] по радиальной координате r .

Краевую задачу (1)–(3) приведем к стандартному виду (с однородными граничными условиями на криволинейных поверхностях цилиндра) на основе представления

$$U(r, t) = H_1(r, t) + u(r, t), \quad \varphi(r, t) = H_2(r, t) + \chi(r, t), \quad (4)$$

где $H_1(r, t) = f_1(r)q_1(t) + f_2(r)q_2(t)$; $H_2(r, t) = f_3(r)q_1(t) + f_4(r)q_2(t)$.

Подставляя (4) в (1)–(3), с учетом условий

$$\begin{aligned} f_1(1) = f_1(k) = f_2(1) = f_2(k) = f'_1(k) = f'_2(1) = f_3(k) = f'_3(k) = f_4(1) = f'_4(1) = 0, \\ f'_1(1) + e_{33} f'_3(1) = 1, \quad e_{33} f'_1(1) - C_{33} \varepsilon_{33} f'_3(1) = 0, \\ f'_2(k) + e_{33} f'_4(k) = 1, \quad e_{33} f'_2(k) - C_{33} \varepsilon_{33} f'_4(k) = 0 \end{aligned} \quad (5)$$

получаем следующую начально-краевую задачу относительно $u(r, t)$, $\chi(r, t)$:

$$\begin{aligned} \nabla^2 u - \frac{C_{11}}{C_{33}} \frac{u}{r^2} + e_{33} \nabla^2 \chi - e_{31} \frac{1}{r} \frac{\partial \chi}{\partial r} - \frac{\partial^2 u}{\partial t^2} = B_1, \\ C_{33} \varepsilon_{33} \nabla^2 \chi - e_{33} \nabla^2 u - e_{31} \frac{1}{r} \frac{\partial u}{\partial r} = B_2; \end{aligned} \quad (6)$$

$r = 1, k$:

$$\begin{aligned} \frac{\partial u}{\partial r} + \frac{C_{13}}{C_{33}} \frac{u}{r} + e_{33} \frac{\partial \chi}{\partial r} &= 0, \\ \left(-C_{33} \varepsilon_{33} \frac{\partial \chi}{\partial r} + e_{31} u + e_{33} \frac{\partial u}{\partial r} \right) \Big|_{r=1} &= 0, \quad \chi(k, t) = 0; \end{aligned} \quad (7)$$

$t = 0$:

$$\begin{aligned} u_0(r) &= U_0(r) - H_1(r, 0), \quad \dot{u}_0(r) = \dot{U}_0(r) - \dot{H}_1(r, 0), \\ B_1 &= -\nabla^2 H_1 + \frac{C_{11}}{C_{33}} \frac{H_1}{r^2} - e_{33} \nabla^2 H_2 + e_{31} \frac{1}{r} \frac{\partial H_2}{\partial r} + \frac{\partial^2 H_1}{\partial t^2}, \\ B_2 &= -C_{33} \varepsilon_{33} \nabla^2 H_2 + e_{33} \nabla^2 H_1 + e_{31} \frac{1}{r} \frac{\partial H_1}{\partial r}. \end{aligned} \quad (8)$$

Здесь штрих означает дифференцирование по r .

Функции $f_1(r), \dots, f_4(r)$ определяются из уравнений

$$f_1^{\text{IV}}(r) = f_2^{\text{IV}}(r) = 0, \quad f_3'''(r) = f_4'''(r) = 0. \quad (9)$$

На сегменте $[k, 1]$ введем вырожденное КИП [4] с неизвестными компонентами вектор-функции ядра преобразования $K_1(\lambda_i, r)$, $K_2(\lambda_i, r)$:

$$G(\lambda_i, t) = \int_k^1 u(r, t) K_1(\lambda_i, r) r dr; \quad (10)$$

$$u(r, t) = \sum_{i=1}^{\infty} G(\lambda_i, t) K_1(\lambda_i, r) \|K_i\|^{-2}, \quad \chi(r, t) = \sum_{i=1}^{\infty} G(\lambda_i, t) K_2(\lambda_i, r) \|K_i\|^{-2}. \quad (11)$$

Здесь

$$\|K_i\|^2 = \int_k^1 K_1^2(\lambda_i, r) r dr,$$

λ_i ($i = \overline{1, \infty}$) — положительные параметры, образующие счетное множество. При этом круговые частоты осесимметричных колебаний цилиндра ω_i связаны с λ_i зависимостью

$$\omega_i = \frac{\lambda_i}{b} \sqrt{\frac{C_{33}}{\rho}}.$$

Подвергая систему уравнений (6) и начальные условия (8) КИП (10) в соответствии с разработанным алгоритмом, получаем счетное множество задач Коши для трансформанты $G(\lambda_i, t)$, решение которых имеет вид

$$G(\lambda_i, t) = G_0(\lambda_i) \cos \lambda_i t + \dot{G}_0(\lambda_i) \lambda_i^{-1} \sin \lambda_i t - \lambda_i^{-1} \int_0^t F(\lambda_i, \tau) \sin \lambda_i(t - \tau) d\tau,$$

и, с учетом граничных условий (7), однородную краевую задачу для компонент ядра КИП $K_1(\lambda_i, r)$, $K_2(\lambda_i, r)$:

$$\begin{aligned} \left(\frac{d^2}{dr^2} + \frac{1}{r} \frac{d}{dr}\right) K_1 - \frac{C_{11}}{C_{33}} \frac{K_1}{r^2} + \lambda_{in}^2 K_1 + e_{33} \frac{d^2 K_2}{dr^2} + (e_{33} - e_{31}) \frac{1}{r} \frac{dK_2}{dr} &= 0, \\ e_{33} \frac{d^2 K_1}{dr^2} + (e_{33} + e_{31}) \frac{1}{r} \frac{dK_1}{dr} - C_{33} \varepsilon_{33} \left(\frac{d^2}{dr^2} + \frac{1}{r} \frac{d}{dr}\right) K_2 &= 0; \end{aligned} \quad (12)$$

$r = k, 1$:

$$\begin{aligned} \left(K_1' + \frac{C_{13}}{C_{33}} \frac{K_1}{r} + e_{33} K_2'\right) \Big|_{r=k} &= 0, \quad \left(-C_{33} \varepsilon_{33} K_2' + e_{31} K_2 + e_{33} K_1'\right) \Big|_{r=1} = 0, \\ K_2(\lambda_i, k) &= 0, \end{aligned} \quad (13)$$

$$F(\lambda_i, t) = \int_k^1 (B_1 K_1 + B_2 K_2) r dr, \quad G_0(\lambda_i) = \int_k^1 u_0 K_1 r dr, \quad \dot{G}_0(\lambda_i) = \int_k^1 \dot{u}_0 K_1 r dr.$$

Система дифференциальных уравнений (12) сводится к следующему разрешающему уравнению третьего порядка относительно новой функции $K_3(\lambda_i, r)$:

$$\left(\frac{d}{dr} + \frac{1}{r}\right) \left(\frac{d^2}{dr^2} + \frac{1}{r} \frac{d}{dr} + \beta_i^2 - \frac{\nu^2}{r^2}\right) K_3(\lambda_i, r) = 0. \quad (14)$$

Здесь

$$\begin{aligned} K_3 &= \frac{dK_2}{dr} + A \frac{dK_1}{dr} + \frac{C_{11}}{C_{33} \varepsilon_{31}} \frac{K_1}{r}, \quad \beta_i^2 = \frac{C_{33} \varepsilon_{33} \lambda_i^2}{e_{33}^2 - e_{33} C_{33} \varepsilon_{33} A}, \\ \nu^2 &= \left[e_{31} - e_{33} + C_{33} \varepsilon_{33} \left(A + \frac{C_{11}}{C_{33} \varepsilon_{31}} \right) \right] \left[(e_{33} - C_{33} \varepsilon_{33} A)^{-1} - \frac{e_{31}}{e_{33}^2 + C_{33} \varepsilon_{33}} \right], \\ A &= - \frac{e_{31} e_{33} + \sqrt{(e_{31} e_{33})^2 + C_{11} \varepsilon_{33} (e_{33}^2 + C_{33} \varepsilon_{33}) + C_{33} \varepsilon_{33} e_{31}^2}}{C_{33} \varepsilon_{33} e_{31}}. \end{aligned}$$

Общее решение уравнения (14) записывается в виде [5]

$$K_3(\lambda_i, r) = C_{1i} J_\nu(\beta_i r) + C_{2i} Y_\nu(\beta_i r) + C_{3i} E_\nu(\beta_i r),$$

где $J_\nu(\cdot)$, $Y_\nu(\cdot)$, $E_\nu(\cdot)$ — функции Бесселя первого и второго рода и функция Ломмера — Вебера порядка ν .

В данном случае функция $E_\nu(\beta_i r)$ определяется равенством

$$E_\nu(\beta_i r) = \sum_{k=0,2,4,\dots}^{\infty} a_k (\beta_i r)^{k+1}, \quad a_0 = \beta_i, \quad a_k = - \frac{a_{k-2}}{(k+1)^2 - \nu^2}.$$

Учитывая зависимости между $K_1(\lambda_i, r)$, $K_2(\lambda_i, r)$ и $K_3(\lambda_i, r)$, полученные в результате сведения системы (12) к уравнению (14), а также рекуррентные соотношения для функций Бесселя [5], получаем следующие выражения для компонент ядра КИП:

$$K_1(\lambda_i, r) = \sum_{j=1}^3 C_{ji} N_j(\lambda_i, r), \quad K_2(\lambda_i, r) = \sum_{j=1}^3 C_{ji} W_j(\lambda_i, r) + C_{4i}. \quad (15)$$

Здесь

$$N_1(\lambda_i, r) = (m_{1i}\nu + m_{2i})r^{-1}J_\nu(\beta_i r) - m_{1i}\beta J_{\nu+1}(\beta_i r),$$

$$N_2(\lambda_i, r) = (m_{1i}\nu + m_{2i})r^{-1}Y_\nu(\beta_i r) - m_{1i}\beta Y_{\nu+1}(\beta_i r),$$

$$N_3(\lambda_i, r) = \sum_{k=0,2,4,\dots}^{\infty} a_k [m_{1i}\beta_i(k+1) + m_{2i}] (\beta_i r)^k,$$

$$W_1(\lambda_i, r) = \int \left[J_\nu(\beta_i r) + \left(A\nu - \frac{C_{11}}{C_{33}e_{31}} \right) r^{-1} J_\nu(\beta_i r) - A\beta_i J_{\nu+1}(\beta_i r) \right] dr,$$

$$W_2(\lambda_i, r) = \int \left[Y_\nu(\beta_i r) + \left(A\nu - \frac{C_{11}}{C_{33}e_{31}} \right) r^{-1} Y_\nu(\beta_i r) - A\beta_i Y_{\nu+1}(\beta_i r) \right] dr,$$

$$W_3(\lambda_i, r) = a_0(m_{1i}\beta_i + m_{2i}) \left[A - \frac{C_{11}}{C_{33}e_{31}\beta_i} \ln(r) \right] + \sum_{k=0,2,4,\dots}^{\infty} a_k [\beta_i(k+2)]^{-1} (\beta_i r)^{k+2} + \\ + \sum_{k=2,4,6,\dots}^{\infty} a_k \left(A - \frac{C_{11}}{C_{33}e_{31}\beta_i k} \right) [m_{1i}\beta_i(k+1) + m_{2i}] (\beta_i r)^k,$$

$$m_{1i} = -\lambda_i^{-2} \left(e_{33} + \frac{C_{33}\varepsilon_{33}(1 + e_{33}A)}{e_{33} - C_{33}\varepsilon_{33}A} \right), \quad m_{2i} = m_{1i} + e_{31}\lambda_i^{-2}.$$

С учетом (15) граничные условия (13) позволяют получить систему однородных уравнений относительно постоянных интегрирования C_{1i}, \dots, C_{4i} . Отыскивая нетривиальное решение этой системы, получаем трансцендентное уравнение для определения собственных значений λ_i , а также выражения для постоянных C_{1i}, \dots, C_{4i} .

3. Расчетные соотношения. Заключительным этапом проводимого исследования является определение функций $f_1(r), \dots, f_4(r)$, входящих в разложения (4). Используя дифференциальные уравнения (9) и граничные условия (5), имеем

$$f_1(r) = \frac{C_{33}\varepsilon_{33}}{C_{33}\varepsilon_{33} + e_{33}^2} [r^3 - (2k+1)r^2 + k(k+2)r - k^2](k-1)^{-2}, \\ f_2(r) = \frac{C_{33}\varepsilon_{33}}{C_{33}\varepsilon_{33} + e_{33}^2} [r^3 - (k+2)r^2 + (2k+1)r - k](k-1)^{-2}, \\ f_3(r) = \frac{e_{33}}{2(C_{33}\varepsilon_{33} + e_{33}^2)} [r^2 - 2kr + k^2](1-k)^{-1}, \\ f_4(r) = -f_3(r) \frac{r^2 - 2r + 2k - k^2}{r^2 - 2kr + k^2}.$$
(16)

Применяя к трансформанте (10) последовательно формулы обращения КИП (11), с учетом (4) получаем выражения для определения перемещений $U(r, t)$ и потенциала электрического поля $\varphi(r, t)$:

$$U(r, t) = f_1(r)q_1(t) + f_2(r)q_2(t) + \sum_{i=1}^{\infty} G(\lambda_i, t)K_1(\lambda_i, r)\|K_i\|^{-2}, \\ \varphi(r, t) = f_3(r)q_1(t) + f_4(r)q_2(t) + \sum_{i=1}^{\infty} G(\lambda_i, t)K_2(\lambda_i, r)\|K_i\|^{-2}.$$
(17)

Собственные значения λ_i свободных осесимметричных колебаний цилиндров

i	Пьезокерамический цилиндр			Керамический цилиндр		
	$a/b = 0,2$	$a/b = 0,5$	$a/b = 0,8$	$a/b = 0,2$	$a/b = 0,5$	$a/b = 0,8$
1	1,985	1,421	1,139	2,150	1,658	1,333
2	5,334	7,425	14,633	5,358	6,592	15,784
3	9,442	14,294	32,441	8,499	12,720	31,570

Функции (17) удовлетворяют дифференциальным уравнениям (1), краевым (2) и начальным (3) условиям, т. е. представляют собой замкнутое решение рассматриваемой задачи электроупругости.

Разность потенциалов $V(t)$ между электродированными радиальными плоскостями пьезокерамического цилиндра определяется по формуле [6]

$$V(t) = \varphi(1, t) - \varphi(k, t).$$

С учетом (13), (16), (17) окончательно получаем

$$V(t) = \frac{e_{33}(1-k)}{2(C_{33}\varepsilon_{33} + e_{33}^2)} [q_1(t) + q_2(t)] + \sum_{i=1}^{\infty} G(\lambda_i, t) K_2(\lambda_i, 1) \|K_i\|^{-2}.$$

4. Анализ численных результатов. В качестве примера рассмотрим пьезокерамический цилиндр (изготовленный из состава ЦТС-19), на радиальных поверхностях которого действует нагрузка

$$q_1(t) = q \sin \theta t, \quad q_2(t) = 0$$

(θ — частота вынужденных колебаний).

Расчеты выполнялись при следующих исходных данных [2]: $e_{31} = -4,9$ Кл/м², $e_{33} = 14,9$ Кл/м², $C_{11} = 10,9 \cdot 10^{10}$ Н/м², $C_{13} = 5,4 \cdot 10^{10}$ Н/м², $C_{33} = 9,3 \cdot 10^{10}$ Н/м², $\varepsilon_{33} = 7,26 \cdot 10^{-9}$ Ф/м.

В таблице приведены собственные значения λ_i свободных осесимметричных колебаний элементов, изготовленных из пьезокерамики и керамического материала с такими же упругими характеристиками. Расчеты выполнялись при различных значениях относительной толщины a/b . Анализ результатов показывает, что учет связанности механических и электрических полей напряжения оказывает существенное влияние на величину ω_i . При этом увеличение параметра a/b приводит к уменьшению значения λ_1 . Однако при сравнении частот последующих тонов колебаний наблюдается обратная зависимость, кроме того, частотный спектр становится менее плотным.

На рис. 1 показано изменение во времени t трансформант $G(\lambda_1, n, t)$, вносящих основной вклад в напряженно-деформированное состояние цилиндра ($a/b = 0,2$) при различных частотах вынужденных колебаний.

Результаты расчета показывают, что допущение о стационарности режима вынужденных колебаний, используемое при исследовании динамических задач, справедливо только в том случае, когда частоты собственных и вынужденных колебаний существенно различаются. При высокочастотном внешнем воздействии вследствие наложения отраженных волн деформирования наблюдается более сложный характер изменения напряженного состояния системы во времени. В качестве подтверждения данного вывода на рис. 2 приведена зависимость $V(t)$ при $a/b = 0,2$, $\theta = 0,6\lambda_1$.

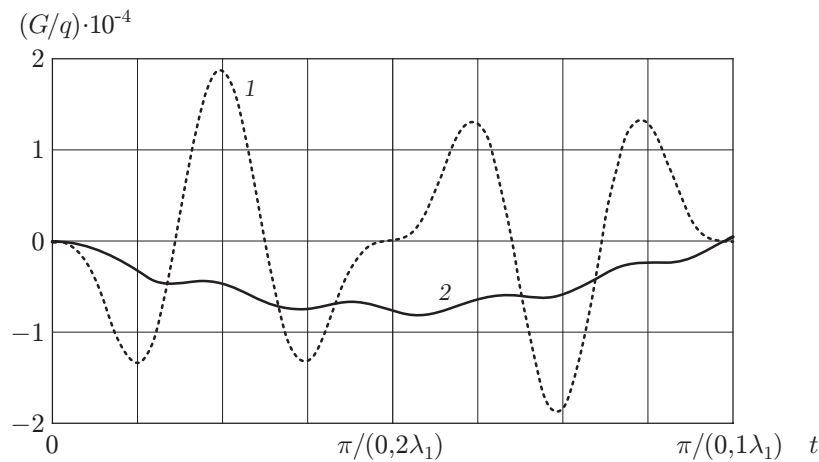


Рис. 1. Изменение во времени трансформант $G(\lambda_1, n, t)$, вносящих основной вклад в напряженно-деформированное состояние цилиндра ($a/b = 0,2$) при различных частотах вынужденных колебаний:
 1 — $\theta = 0,6\lambda_1$; 2 — $\theta = 0,1\lambda_1$

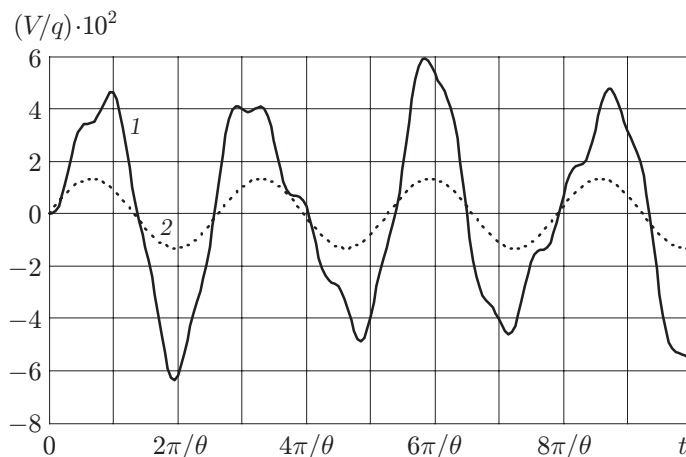


Рис. 2. Зависимость разности потенциалов между электродированными радиальными плоскостями пьезокерамического цилиндра от времени (1) и осциллограмма внешней нагрузки (2) при $a/b = 0,2$, $\theta = 0,6\lambda_1$

На рис. 3 показаны нормированные формы $K_1(\lambda_i, r)$, $K_2(\lambda_i, r)$ свободных колебаний цилиндра при $a/b = 0,2$.

Следует отметить, что в пьезокерамическом цилиндре, так же как и в обычном длинном анизотропном элементе, характер зависимости $K_1(\lambda_i, r)$ определяется в основном числом нулей этой зависимости. Нулевое значение функции $K_2(\lambda_i, r)$ при $r = k$ соответствует электрическому заземлению внутренней радиальной поверхности.

На рис. 4 показано изменение амплитудных значений механических и электрических функций по толщине при $a/b = 0,2$, $\theta = 0,2\lambda_1$.

Полученные результаты, с одной стороны, подтверждают известный факт, что величина радиальной компоненты нормальных напряжений существенно меньше окружной компоненты, с другой — не подтверждают результаты численного расчета [2], согласно

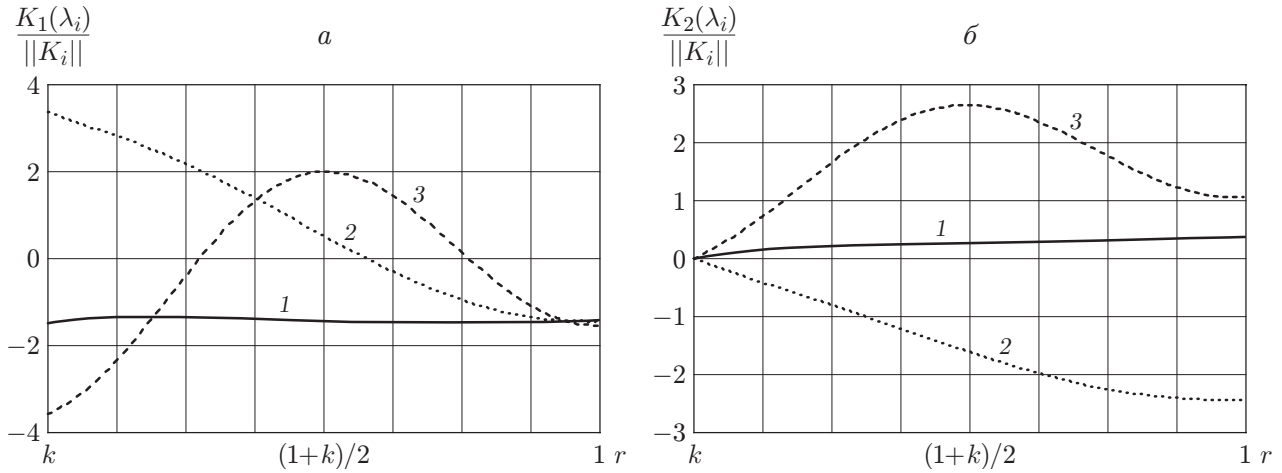


Рис. 3. Нормированные формы $K_1(\lambda_i, r)$ (а) и $K_2(\lambda_i, r)$ (б) свободных колебаний цилиндра при $a/b = 0,2$:

1 — $i = 1$; 2 — $i = 2$; 3 — $i = 3$

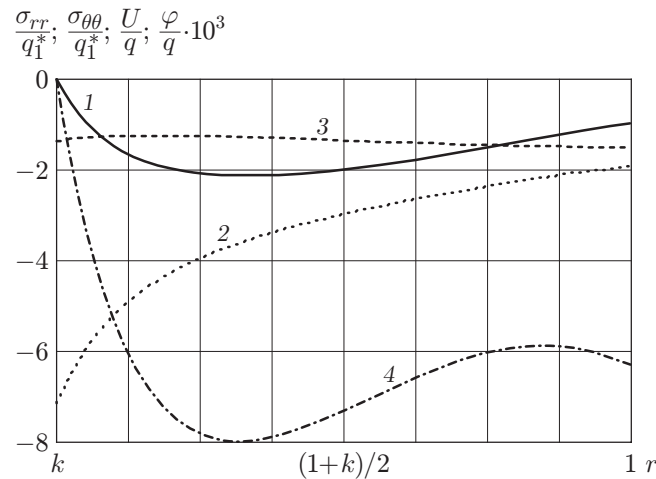


Рис. 4. Изменение амплитудных значений механических и электрических функций по толщине при $a/b = 0,2$, $\theta = 0,2\lambda_1$:

1 — σ_{rr} , 2 — $\sigma_{\theta\theta}$, 3 — U , 4 — φ

которым изменение компонент тензора напряжений имеет линейный характер. Заметим, что только радиальная компонента вектора перемещений изменяется практически по линейному закону, остальные функции изменяются по сложной криволинейной зависимости.

В заключение следует отметить, что построенный алгоритм решения позволяет также рассмотреть случай “короткого замыкания” и получить результаты, которые могут быть использованы при определении электроакустической чувствительности преобразователей.

ЛИТЕРАТУРА

1. **Партон В. З.** Электромагнитоупругость пьезоэлектрических и электропроводных тел / В. З. Партон, Б. А. Кудрявцев. М.: Наука, 1988.
2. **Гринченко В. Т.** Механика связанных полей в элементах конструкций / В. Т. Гринченко, А. Ф. Улитко, Н. А. Шульга. Киев: Наук. думка, 1989.

3. **Шульга Н. А.** Колебания пьезоэлектрических тел / Н. А. Шульга, А. М. Болкисев. Киев: Наук. думка, 1990.
4. **Сеницкий Ю. Э.** Многокомпонентное обобщенное конечное интегральное преобразование и его приложение к нестационарным задачам механики // Изв. вузов. Математика. 1991. № 4. С. 57–63.
5. **Янке Е.** Специальные функции: Формулы, графики, таблицы / Е. Янке, Ф. Эмде, Ф. Леш. М.: Наука, 1977.
6. **Тамм И. Е.** Основы теории электричества. М.: Наука, 1989.

*Поступила в редакцию 17/V 2007 г.,
в окончательном варианте — 27/I 2009 г.*
